

トンネル掘削による周辺地盤の変形について
(面外変位の場合)

大阪大学工学部 正員 伊藤富雄
大阪大学工学部 正員 久戸勝保

II. 緒言

かぶりの浅いトンネルの掘削によってトンネル周辺地盤は直接、間接的にその影響を受ける。地表においては家屋等の傾きがあり、地中においてはガス管など埋設物の破損が挙げられる。トンネル掘削による地盤の変形挙動は一概に三次元的であり、また長期にわたって継続する場合もまれではない。ここでは、面外初期応力の存在する地山にトンネルを開削した場合の地表及びトンネル周辺の変形挙動を解析し、若干の考察を加えた。地山は粘弾性体と仮定し、解析方法としては複素関数論において、境界条件を Hilbert 問題として表示し、各境界に解析接続するこより解析関数を求めた。

2. 解析の概略

トンネルの掘削によって出現する変位は地山に存在している初期応力の解放によって生ずる。今、トンネルを開削しようとする前の面外初期応力を次の様に無限級数の形で一般化して表わしておく。

$$\sigma_{xz} = a_0 + \sum_n (a_n \cos n\theta + b_n \sin n\theta) \quad (1)$$

初期応力を解放することは、式(1)で表わされる応力と絶対値が同じで逆符号の応力を境界 L_0 に作用させることによって表わされる。いま、式(1)の逆符号応力を L_0 に作用させた場合、境界 L_1 を考慮に入れない單連結領域内の解析関数は次式の様に表わされる。

$$\phi_0(z) = \sum_{n=1}^{\infty} A_n / z^n \quad (A_n = -a_n''(b_n - i a_n)/(2n)) \quad (2)$$

ただし、式(1)を境界 L_0 に沿って 2π だけ積分して求めた合力 \bar{z} は 0 であるとする。一方、解析関数と合力との関係は

$$2R_e[\phi(z)] = g(z) + C \quad (3)$$

と表わされる。ここに、 R_e は [] 内の実部を表す。 $g(z)$ は外力として与えらる、 C は積分定数であり单連結領域問題の場合には任意に選ぶことができる。次に、境界 L_1 における境界条件 ($\partial_y = 0$, $\bar{z}_{xy} = 0$) を満足するために、式(2)に未知関数 $\phi_1(z)$ を加え、 L_1 における境界条件を満足する関数を次の様に仮定する。

$$\phi_1(z) = \phi_0(z) + \bar{\phi}(z) \quad (4)$$

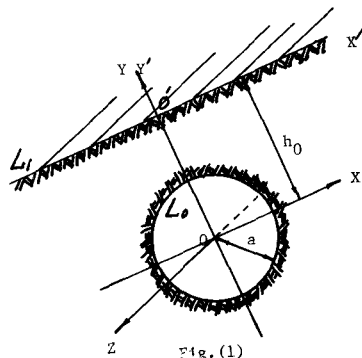
すると、 L_1 における境界条件は

$$\bar{\phi}(z) + \bar{\phi}(\bar{z}) = C \quad (5)$$

と表わされる。ところで、未知関数は既知関数によつて $\phi_1(z) = -\bar{\phi}_0(\bar{z})$ と表わされる。ところが、境界 L_1 上では $\bar{z} = z - 2i h_0$ が成立するこより $\phi_1(z)$ は

$$\phi_1(z) = \sum_{n=1}^{\infty} A_n / (z - B_n)^n \quad (A_n = -\bar{a}_n, B_n = z - 2i h_0) \quad (7)$$

となる。明らかに $\phi_1(z) = \phi_0(z) + \bar{\phi}(z)$ は L_1 上の境界条件を満足するけれども、新たに加わった関数 $\phi_1(z)$ は L_0 上の境界条件を乱すこととなる。 $\phi_1(z)$ によつて L_0 上の境界条件は満足されることはより、 $\phi_1(z)$ によつて生ずる L_0 上の応力 σ_{xz} を打ち消す様な解析関数を求めなければなら



となり。これは式(7)を求めたのと同様に境界 \angle_0 ($Z = \alpha^3/Z$) に $\theta(Z)$ を解析接続することより求められる。以上の様に、この操作を \angle_0, \angle_1 にくり替えて行なうことにより、両境界条件を満足する関数は次式の様に表まる。

$$\begin{aligned} \phi(z) &= \sum_{i=0}^{\infty} \phi_i(z) \quad (\because z \in \mathcal{R}_c(z) = \bigcup_{n=1}^{\infty} iA_n (z - D_n)^m / (z - B_i)^n + C_i) \\ &\left\{ \begin{array}{l} zA_m = -\bar{A}_m / (-\bar{B}_1)^m, \quad B_2 = \alpha^2 / \bar{B}_1, \quad C_2 = -\sum_{n=1}^{\infty} iA_n, \quad D_2 = 0 \\ \text{奇数の場合 } (i \geq 3): zA_m = -z\bar{A}_m, \quad B_i = z\bar{c}_{i-1} + \bar{B}_{i-1}, \quad C_i = -\sum_{n=1}^{\infty} iA_n, \quad D_i = z\bar{c}_{i-1} + \bar{D}_{i-1} \\ \text{偶数の場合 } (i \geq 4): A_m = -z\bar{A}_m (\bar{D}_{i-1} / \bar{B}_{i-1})^m, \quad B_i = \alpha^2 / \bar{B}_{i-1}, \quad C_i = -\sum_{n=1}^{\infty} iA_n, \quad D_i = \alpha^2 / \bar{D}_{i-1} \end{array} \right. \end{aligned} \quad (8)$$

一方、粘弹性地山に対する変位は上の解析関数を用いて

$$W(t) = -44(t) I_m [\phi(z)] \quad \dots \dots \dots \dots \quad (9)$$

と表わされ、 $\Im \omega$ は ω の虚部を表わす。 $\psi(t)$ はクリーフ関数であり、以下のような関係がある。

$$e_{ij}^*(t) = \int_{-\infty}^t 4(t-\tau) \frac{\partial}{\partial \tau} \sigma_{ij}^*(\tau) d\tau \quad \dots \dots \dots \quad (10)$$

こゝに、 E_{ij} , σ_{ij} は弾性率と偏差ひずみ、偏差応力である。たとえば、地山せん断応力とせん断ひずみとの関係が Fig.(2) で表わされるならば、(4) は

$$\psi(t) = \frac{1}{2}G + (1 - e^{kt})/2G \quad \text{--- --- --- --- (11) --- } \frac{-2W/(a \cdot \psi(t))}{\psi(t)}$$

と表わされる。したがって遷延時間 τ は $1/g^2 \tau'$ である。

3. 解析結果との考察

今、地山の初期応力が $Z_E^0 = Z_E^0 \cos \theta + Z_H^0 \sin \theta$
 として表わされる場合を考えてみる。Fig.(3)はトン
 ネル壁面における面外変位を表わしている。 Z_E^0 の
 影響はあまり受けないけれども、 Z_H^0 によつて地表に
 近い部分は多くの変位が生じる。Fig.(4)は地表にあ
 りける変位を表わしており、これも Z_H^0 の影響が強く出
 ていることがわかる。被覆の多くは不等変位による
 ことからすると、トンネル真上付近では非常に変位
 勾配が大きくなることより、この部分には十分な考慮が
 必要であろう。参考文献：伊藤富雄、久武勝保・ト
 ンネル掘削による地表面沈下の解析。東日本岩盤力

学に関するシンポジウム, pp.
91~95, 1975.

伊藤周雄, 久武勝保: 地表面
近くに開削したトンネルによ
る周辺地盤の応力及位変の
鏡像原理による解析, 土木學
會第29回年次學術講演会, 第
3部, pp. +28 ~ +29

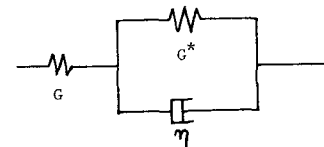


Fig. (2)

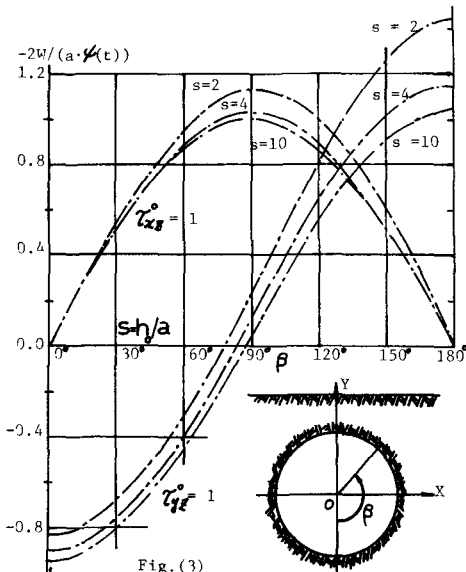


Fig.(3)

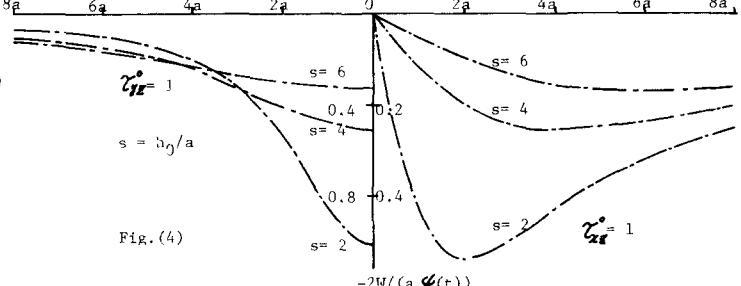


Fig. (4)